

État: 13.10.2016

Stahlbau

Costruzioni in acciaio

Steel Structures

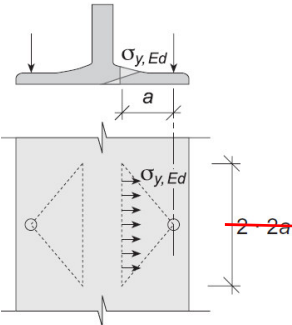
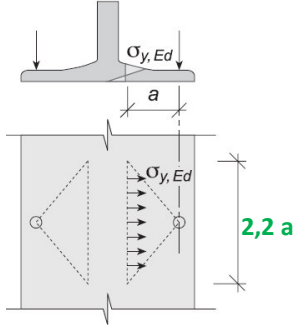
Constructions en acier Correctif C3

Numéro de référence:
SN 505 263-C3:2016 fr

Valable à partir de: 2016-10-13

Éditeur:
Société suisse des ingénieurs et
des architectes
Zurich

Page	Chiffre Figure Tableau	Genre d'erreur	Jusqu'à présent (Les fautes son marquées en rouge et barrées)	Corrections (Les corrections sont marquées en vert)	Approuvé par commission (Date)
31	4.5.2.3	T	<p>Le facteur de réduction χ_D sera déterminé comme suit:</p> $\chi_D = \frac{1}{\Phi_D + \sqrt{\Phi_D^2 - \bar{\lambda}_D^2}} \leq 1,0$ $\Phi_D = 0,5[1 + \alpha_D(\bar{\lambda}_D - 0,4) + \bar{\lambda}_D^2]$ <p>où $\bar{\lambda}_D = \frac{\sqrt{W f_y}}{\sqrt{M_{eff}}} = \frac{f_y}{\sqrt{\sigma_{cr,D}}} \sqrt{\frac{W}{W_{el}}}$, coefficient d'élanement au déversement</p> <p>M_{eff} $\sigma_{cr,D}$: moment ou contrainte critique de déversement élastique déterminé selon la théorie de l'élasticité (par ex. selon l'annexe B)</p> <p>...</p>	<p>Le facteur de réduction χ_D sera déterminé comme suit:</p> $\chi_D = \frac{1}{\Phi_D + \sqrt{\Phi_D^2 - \bar{\lambda}_D^2}} \leq 1,0$ $\Phi_D = 0,5[1 + \alpha_D(\bar{\lambda}_D - 0,4) + \bar{\lambda}_D^2]$ <p>où $\bar{\lambda}_D$, coefficient d'élanement au déversement:</p> <p>Classe de section 1 et 2: $\bar{\lambda}_D = \sqrt{\frac{f_y}{\sigma_{cr,D}}} \sqrt{\frac{W_{pl}}{W_{el}}}$</p> <p>Classe de section 3 et 4: $\bar{\lambda}_D = \sqrt{\frac{f_y}{\sigma_{cr,D}}}$</p> <p>$\sigma_{cr,D}$: contrainte critique de déversement élastique déterminé selon la théorie de l'élasticité (par ex. selon l'annexe B)</p> <p>...</p>	03.03.2016
34	4.6.2.1	T	<p>...</p> <p>Cette vérification doit être effectuée aussi bien pour l'âme que pour l'élément d'attache, selon la figure 10. En outre, dans le cas de sollicitations en traction, le cordon de soudure doit également être vérifié en utilisant la longueur efficace ($s_s + 10 t_f$). Dans des cas spéciaux, il faut procéder à une vérification selon le chiffre 4.3.5.4.</p> <p>...</p>	<p>...</p> <p>Cette vérification doit être effectuée aussi bien pour l'âme que pour l'élément d'attache, selon la figure 10. En outre le cordon de soudure doit également être vérifié en utilisant la longueur efficace ($s_s + 10 t_f$). Dans des cas spéciaux, il faut procéder à une vérification selon le chiffre 4.3.5.4.</p> <p>...</p>	27.03.2014
47	5.1.6.3	R	<p>Si, dans le cas de profilés creux rectangulaires laminés à épaisseur des parois t constante, une flexion selon un seul axe interagit avec un effort normal, la résistance ultime en section peut être représentée sous forme d'un moment plastique réduit $M_{y,N,Rd}$ ou $M_{z,N,Rd}$ à l'aide de la formule (45) où ξ et n sont définis ainsi:</p> <p>....</p>	<p>Si, dans le cas de profilés creux rectangulaires laminés à épaisseur des parois t constante, une flexion selon un seul axe interagit avec un effort normal, la résistance ultime en section peut être représentée sous forme d'un moment plastique réduit $M_{y,N,Rd}$ ou $M_{z,N,Rd}$ à l'aide de la formule (45) où ξ est défini ainsi:</p> <p>....</p>	17.09.2015

Page	Chiffre Figure Tableau	Genre d'erreur	Jusqu'à présent (Les fautes son marquées en rouge et barrées)	Corrections (Les corrections sont marquées en vert)	Approuvé par commission (Date)
49	5.1.10.1	T	<p>Dans le cas de barres à section constante, sollicitées en compression et en flexion selon les deux axes, la vérification de la stabilité peut être effectuée selon la formule:</p> $\frac{N_{Ed}}{N_{K,Rd}} + \frac{\omega_y}{1 - \frac{N_{Ed}}{N_{cr,y}}} \frac{M_{y,Ed}}{M_{D,Rd}} + \frac{\omega_z}{1 - \frac{N_{Ed}}{N_{cr,z}}} \frac{M_{z,Ed}}{M_{z,Rd}} \leq 1,0$ <p>$N_{K,Rd}$ le minimum de $N_{Ky,Rd}$ et de $N_{Kz,Rd}$ selon le chiffre 4.5.1.3 $M_{D,Rd}$ valeur de calcul du moment de déversement selon le chiffre 4.5.2, les autres valeurs selon le chiffre 5.1.9.1 ω_y, ω_z coefficients selon le chiffre 5.1.9.1</p>	<p>Dans le cas de barres à section constante, sollicitées en compression et en flexion selon les deux axes, la vérification de la stabilité peut être effectuée selon la formule:</p> $\frac{N_{Ed}}{N_{K,Rd}} + \frac{\omega_y}{1 - \frac{N_{Ed}}{N_{cr,y}}} \frac{M_{y,Ed}}{M_{D,Rd,min}} + \frac{\omega_z}{1 - \frac{N_{Ed}}{N_{cr,z}}} \frac{M_{z,Ed}}{M_{z,Rd}} \leq 1,0 \quad M_{y,Ed} \leq M_{D,Rd}$ <p>$N_{K,Rd}$ le minimum de $N_{Ky,Rd}$ et de $N_{Kz,Rd}$ selon le chiffre 4.5.1.3 $M_{D,Rd,min}$ valeur de calcul du moment de déversement selon le chiffre 4.5.2 avec un moment constant sur toute la longueur de la barre dans le cas d'une flexion selon les deux axes, avec la répartition effective des moments dans le cas d'une flexion selon un axe. Les autres valeurs selon le chiffre 5.1.9.1 ω_y, ω_z coefficients selon le chiffre 5.1.9.1</p>	15.09.2016
50	5.2.6	R	$\frac{N_{Ed}}{N_{Rd}} + \frac{M_{y,Ed}}{M_{y,el,Ed}} + \frac{M_{z,Ed}}{M_{z,el,Rd}} \leq 1,0$	$\frac{N_{Ed}}{N_{Rd}} + \frac{M_{y,Ed}}{M_{y,el,Rd}} + \frac{M_{z,Ed}}{M_{z,el,Rd}} \leq 1,0$	27.03.2014
62	Figur 24	R			27.03.2014
82	7.6.5	R	Les valeurs limites pour des assemblages soudés sont fixées dans SN EN 25817.	Les valeurs limites pour des assemblages soudés sont fixées dans SN EN ISO 5817.	21.10.2014
87	C.3	R	$\dot{h}_{net,d} = \alpha_c (\theta_{g,t} + \theta_t) + \varepsilon \cdot \sigma \left[(\theta_{g,t} + 273)^4 - (\theta_t + 273)^4 \right]$	$\dot{h}_{net,d} = \alpha_c (\theta_{g,t} - \theta_t) + \varepsilon \cdot \sigma \left[(\theta_{g,t} + 273)^4 - (\theta_t + 273)^4 \right]$	27.03.2014

Page	Chiffre Figure Tableau	Genre d'erreur	Jusqu'à présent (Les fautes son marquées en rouge et barrées)	Corrections (Les corrections sont marquées en vert)	Approuvé par commission (Date)
87	C.4	R	$\theta_t = 20 + 345 \log_{10}(8t + 1)$	$\theta_{g,t} = 20 + 345 \log_{10}(8t + 1)$	27.03.2014
55	5.5.1.2	R	λ_z élancement de la barre étrésoillonnée dans son ensemble; pour déterminer λ_z , on peut prendre en compte le moment d'inertie propre des membrures, pour autant que $\lambda_z \leq 75$; si cette valeur dépasse 150 ($\lambda_z \leq 150$), ces moments d'inertie ne peuvent pas être pris en considération; pour les cas intermédiaires, la valeur des moments d'inertie propres des membrures à considérer peut être déterminée par interpolation linéaire.	λ_z élancement de la barre étrésoillonnée dans son ensemble; pour déterminer λ_z , on peut prendre en compte le moment d'inertie propre des membrures, pour autant que $\lambda_z \leq 75$; si cette valeur dépasse 150 ($\lambda_z \geq 150$), ces moments d'inertie ne peuvent pas être pris en considération; pour les cas intermédiaires, la valeur des moments d'inertie propres des membrures à considérer peut être déterminée par interpolation linéaire.	05.03.2015

Commentaire

Norme SIA 263, 1ère édition, 2013

Version française

État 13.10.2016

Page	Chiffre Figure Tableau	Commentaire														
37 104	4.7.4.8 E.2	<p>Vérification de la sécurité à la fatigue pour une durée de vie infinie (limite de fatigue)</p> <p>Au cas où l'histogramme des différences de contraintes est connu, la vérification de la résistance à la fatigue est effectuée avec les courbes de résistance à la fatigue (chiffre 4.7.4.4). La vérification de la sécurité à la fatigue pour une durée de vie infinie est effectuée avec la limite de fatigue sous amplitude constante selon l'annexe E.2. (toutes les différences de contraintes de l'histogramme doivent être inférieures à la valeur de calcul de la limite de fatigue).</p> <p>En présence des sollicitations selon la norme SIA 261 la vérification de la résistance à la fatigue est effectuée avec les facteurs de dommage équivalent (chiffre 4.7.4.1). La vérification de la sécurité à la fatigue pour une durée de vie infinie est effectuée avec le facteur de dommage équivalent λ_{max} selon chiffre 4.7.4.8.</p>														
7-8	1	<p>Nouvelle terminologie SIA 260</p> <p>Les termes techniques principaux sont définis dans la norme SIA 260. Les termes indiqués ci-après, sont considérés synonymes :</p> <table style="width: 100%; border: none;"> <tr> <td style="width: 50%;">ouvrage</td> <td>construction</td> </tr> <tr> <td>situation de dimensionnement</td> <td>situation de projet</td> </tr> <tr> <td>valeur de dimensionnement</td> <td>valeur de calcul</td> </tr> <tr> <td>conception de projet</td> <td>conception</td> </tr> <tr> <td>danger</td> <td>risque</td> </tr> <tr> <td>entretien</td> <td>maintenance</td> </tr> <tr> <td>remise en état</td> <td>réparation</td> </tr> </table>	ouvrage	construction	situation de dimensionnement	situation de projet	valeur de dimensionnement	valeur de calcul	conception de projet	conception	danger	risque	entretien	maintenance	remise en état	réparation
ouvrage	construction															
situation de dimensionnement	situation de projet															
valeur de dimensionnement	valeur de calcul															
conception de projet	conception															
danger	risque															
entretien	maintenance															
remise en état	réparation															